

# 1ビット・セルラオートマトン上での 最適時間一斉射撃アルゴリズムの設計

西村 順<sup>†</sup>曾我部 崇<sup>†</sup>梅尾 博司<sup>††</sup>

†大阪電気通信大学 大学院 情報工学専攻

††大阪電気通信大学 情報工学部 情報工学科

## 概要

$n$  個のセルからなるセル空間の同期を  $2n-2$  ステップの最適時間で実現するセルラオートマトンは従来から数多く提案されている。これらのセルラオートマトンにおいて、隣接するセル間の1ステップ当たりの通信量は  $O(1)$  ビットであるが、セル間通信量は有限状態記述というオートマトンの定義には明示的に現れないし、セル間通信量に関する研究はこれまであまりなされていない。本稿では、1ステップあたりのセル間通信量を1ビットに制限した計算モデル CA<sub>1-bit</sub> を定義し、CA<sub>1-bit</sub> 上で最適時間一斉射撃アルゴリズムを提案する。セルの内部状態数は78である。我々のアルゴリズムは、すでに正当性が示されている Waksman のアルゴリズム (セル間通信量は  $O(1)$  ビットである) をベースとしたもので、その正当性は明らかである。

## 1 はじめに

本稿では、隣接する2つのセル間の通信量を1ビットに制限したセルラオートマトン・モデル CA<sub>1-bit</sub>[8] 上で、 $n$  個のセルからなるセル空間の同期 (synchronization, セルラオートマトン上では同期化を一斉射撃 (firing squad synchronization) と呼ぶ) を  $2n-2$  ステップの最適時間で実現できることを明らかにする。

## 2 Waksman のアルゴリズム

Waksman[1] の一斉射撃アルゴリズムでは、各セルは次の16個の内部状態からなる状態集合  $D$  を持つ。すなわち、

$$D = \{Q, T, P_0, P_1, B_0, B_1, R_0, R_1, A_{000}, A_{001}, A_{010}, A_{011}, A_{100}, A_{101}, A_{110}, A_{111}\}.$$

$Q$  は静止状態,  $T$  は射撃状態,  $P_0, P_1$  は射撃準備状態,  $B_0, B_1$  は波状態,  $R_0, R_1$  はトリガー状態,  $A_{ijk}, i, j, k \in \{0, 1\}$  は状態  $R_0, R_1, P_0, P_1$  を生成するための制御状態を意味する。

図1は Waksman の一斉射撃アルゴリズムの時間空間図式である。図1において、時刻  $t=0$  におけるセル1を将軍セルと呼び  $G$  で表す。 $G$  は、 $t=0$  時より傾き  $\frac{1}{1}$  (セル/ステップ) の  $a$  信号, 傾き  $\frac{1}{3}, \frac{1}{7}, \frac{1}{15}, \dots, \frac{1}{2^k-1}, \dots$  の  $b$  信号群  $\{b_2, b_3, b_4, \dots, b_k, \dots\}$  を右向きに送出する。 $a$  信号は、時刻  $t=n-1$  時にセル  $n$  に到着し、将軍  $G_1$  を出現させる。 $G_1$  も  $G$  と同様に  $a$  信号および  $b$  信号群を左向きに送出する。 $G_1$  により送出された  $a$  信号は、先に  $G$  により送出されている  $b$  信号群と交差し、そこに将軍  $G_2, G_3, \dots, G_k$  を出現させる。各将軍  $G_1, G_2, G_3, \dots, G_k$  は、自分の左側に位置する部分セル列を  $G$  と同じ方法で同期させる。

Waksman のアルゴリズムでは、無限個の  $b$  信号群  $\{b_2, b_3, \dots, b_k, \dots\}$  の生成とセル空間上での二分割点  $G_2, G_3, \dots, G_k$  の探索、マーキングが重要である。以下では、これらの生成・探索手法をビット情報の観点から説明する。

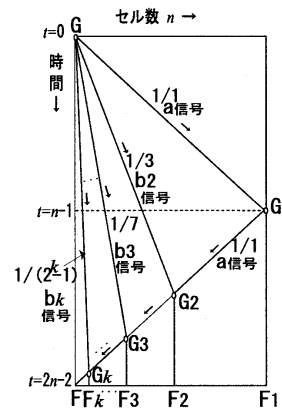


図1 Waksman のアルゴリズム

### ・ $b$ 信号群の生成機構

傾き  $\frac{1}{2^k-1}$  の  $b_k$  信号は、状態  $B_0, B_1$  の2状態で表現され、1つのセル上に  $2^k-1$  ステップづつ滞りながら隣接セルに移動する。状態  $B_0$  は送出元の将軍から数えて偶数番目のセル上で、また状態  $B_1$  は奇数番目のセル上で  $b_k$  信号を表現する。このように  $b_k$  信号は、2つの状態を交互にとることにより、傾き  $\frac{1}{2^k-1}$  による位置情報のみならずセル空間のサイズに関する奇偶情報をも伝達している。

$b_k$  信号は、周期  $2^k$  ステップの  $r$  信号との交差がトリガーとなり隣接セルに移動する。その際、 $b_k$  信号は、周期  $2^k$  ステップの  $r$  信号を2回に1回の割合で遮断する。これにより、後続の  $b_{k+1}$  信号の傾きは  $\frac{1}{2^{k+1}-1}$  となる。以上のようにして、 $b$  信号群は帰納的に生成される。

### ・ 二分割点の探索、マーキング

状態  $P_0, P_1$  は、将軍状態を表す。将軍  $G_k (k \geq 2)$  は、 $G_{k-1}$  により送出された  $a$  信号と  $G$  により送出された  $b_k$  信号の交差点に出現する。この時、以下の (a)(b) の組み合わせから4通りのパターンが考えられる。

- (a) 状態  $P_i, i \in \{0, 1\}$  のセルの個数は1個または2個である。
- (b)  $G_k$  を表す内部状態は、 $P_0, P_1$  のいずれかである。

(a) は  $G_{k-1}$  を表す状態  $P_i, i \in \{0, 1\}$  により決定され、この状態が  $P_0$  の時は 1 個、 $P_1$  の時は 2 個となる。(b) は  $G_{k-1} \sim G_k$  間のセル数の奇偶性により決定され、奇数の時は  $P_0$ 、偶数の時は  $P_1$  となる。

(a) の情報は、 $G_{k-1}$  により送出される a 信号に付与され、(b) の情報は a 信号が伝播する際、セル空間の奇偶性をチェックすることにより、 $G_k$  にそれぞれ 1 ビットの情報として伝えられる。このようにして、初期セル列上に將軍状態を配置して均等に細分割し、全てのセルが状態  $P_i, i \in \{0, 1\}$  へ遷移したときに射撃準備は完了する。図 2 は Waksman のアルゴリズムの実行結果である。

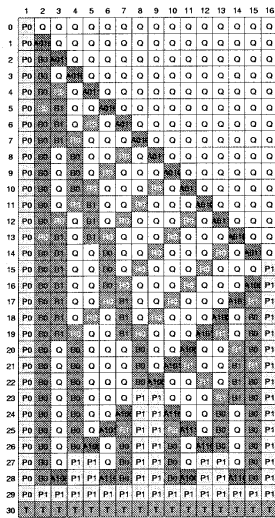


図 2 Waksman のアルゴリズム (セル数 16)

### 3 CA<sub>1-bit</sub> 上のアルゴリズム

CA<sub>1-bit</sub> 上での a 信号は、2 ビット以上の情報を同時に伝達できない。そのため、CA<sub>1-bit</sub> 上では、b 信号群が状態  $P_0, P_1$  の生成に必要な 2 ビット情報を伝えている。図 3(左) は、Waksman のアルゴリズムにおいて右向きに進行する傾き  $\frac{1}{2^{k-1}}$  の  $b_k$  信号の一部である。 $b_k$  信号は、状態  $B_0, B_1$  を交互に使用して、状態 P の添字を決める 1 ビット情報を伝達している。CA<sub>1-bit</sub> 上の  $b_k$  信号は、この情報に加えて、状態 P の個数を決める情報を伝達させるため、図 3(右) のように有限個の異なる内部状態で表現される 4 つのブロック (i) ~ (iv) を逐次的に使用する。

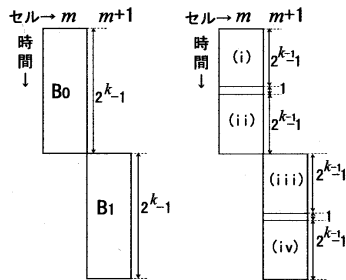


図 3  $b_k$  信号の構造

ブロック (i)~(iv) は、それぞれ  $2^{k-1} - 1$  個の状態列で表現され、各ブロックは r 信号と交差した時、次のブロックのひとつの状態に遷移する。ブロック (i) 上の状態で a 信号と交差した時、そこに状態  $P_1$  を 1 個生成する。ブロック (ii), (iii), (iv) 上の状態で、a 信号と交差した時、それぞれ  $P_1$  を 2 個、 $P_0$  を 1 個、 $P_1$  を 2 個生成する。以上のように状態 P の 4 通りの生成は CA<sub>1-bit</sub> 上でも実現できる (図 4)。図 4 か

ら、CA<sub>1-bit</sub> 上でも、b 信号群および各將軍状態が、図 2 と同じタイミングで生成されている様子が伺える。

以上の結果を次の補題、定理としてまとめる。

[補題 1] CA<sub>1-bit</sub> 上で b 信号群  $\{b_2, b_3, b_4, \dots\}$  を生成できる。必要な内部状態数は 35 である。

[補題 2] CA<sub>1-bit</sub> 上で Waksman のアルゴリズムと同じタイミングで將軍  $G_1, G_2, \dots, G_k$  を生成できる。

[定理] 任意の自然数 n に対して、n 個のセルからなるセル空間を  $2n - 2$  ステップで一斉射撃する CA<sub>1-bit</sub> が存在する。必要な内部状態数は 78 である。

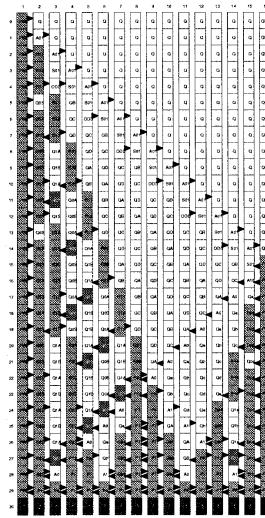


図 4 セル数 16 の場合の 1 ビット一斉射撃の計算状況

### 4 おわりに

本稿では、CA<sub>1-bit</sub> 上で一斉射撃問題を考察し、セル間通信量を 1 ビットに制限したモデル上でも n 個のセルからなるセル空間の同期を  $2n - 2$  ステップの最適時間で実現できることを明らかにした。セルの内部状態数は 78 である。我々のアルゴリズムは、すでに正当性が示されている Waksman のアルゴリズムをベースとしたもので、その正当性は明らかである。さらに、シミュレータを用いて、 $n=2 \sim 10000$  まで最適時間で一斉射撃が正しくなされることを確認した。

### 参考文献

- [1] A. Waksman, "An optimum solution to the firing squad synchronization problem", Information and Control, 9, pp.66-78, (1966).
- [2] 後藤 英一, "一斉射撃の問題", 数理学, 11 巻, 10 号, pp.42-46, (1973).
- [3] J. Mazoyer, "On optimal solution to the firing squad synchronization problem", Theoretical Computer Science, 168, pp.367-404,(1996).
- [4] E. F. Moore, "The firing squad synchronization problem", Sequential Machines(E. F. Moore), Selected Papers, Addison-Wesley Reading, MA., pp.213-214, (1964).
- [5] M. Minsky, "Computation:Finite and infinite machines", Prentice Hall, pp.28-29, (1967).
- [6] R. Balzer, "An 8-state minimal time solution to the firing squad synchronization problem", Information and Control, 10, pp.22-42, (1967).
- [7] 小林 孝次郎, "オートマトン理論とパズル——一斉射撃の問題", 数理学, 11 月号増刊「パズル I」, pp.106-110, (1976).
- [8] H. Umeo, "A design of cellular algorithms for 1-bit intercell communications and related cellular algorithms", Proc. of MCU'98, Vol. 1, pp.210-227, (1998).
- [9] 西村, 林, 梅尾, "1 ビット通信セルラ・オートマトン上での最適時間一斉射撃アルゴリズムの設計", 日本ソフトウェア科学会第 16 回大会論文集, pp. 120-123, (1999).